

RENKLİ GAUSS GÜRÜLTÜLÜ SEYREK SUALTI AKUSTİK KANALLARIN KESTİRİMİ

SPARSE UNDERWATER ACOUSTIC CHANNEL ESTIMATION IN COLORED GAUSSIAN NOISE

Mustafa Erdoğan¹, Habib Şenol¹, Erdal Panayırcı¹, Murat Uysal²

¹ Mühendislik Fakültesi, Kadir Has Üniversitesi, İstanbul, 34083

{mustafa.erdogan, hsenol, eepanay}@khas.edu.tr

² Mühendislik Fakültesi, Özyegin Üniversitesi, İstanbul, 34794

murat.uysal@ozyegin.edu.tr

ÖZETÇE

İşbirlikli sualtı kablosuz iletişim sistemleri konusu son yıllarda büyük önem kazanmıştır. Özellikle sualtı akustik kanalların seyrek (sparse) olma özelliği taşıması ve sisteme giren toplamsal gürültünün renkli Gauss gürültüsü olması sualtı kanallarının kestiriminin çok zorlaştırmaktadır ve kuramsal açıdan ilginç kılmaktadır. Bu çalışmada kaynaktan hedef alıcıya iletimin rôle aracılığıyla yapıldığı bir dik frekans bölmeli çoğullama (orthogonal frequency division multiplexing (OFDM))-tabanlı sisteme uyumlu eşleme (matching pursuit (MP)) algoritması kullanılarak kanal kestirim problemi çözülmüş ve elde edilen sonuçlarda yüksek hata başarımları elde edilmiştir.

ABSTRACT

Cooperative underwater acoustic communication systems come into prominence in recent years. Since underwater channels are sparse and additive noise entering the system is colored Gaussian noise. Therefore it is very difficult to estimate the underwater channels and theoretically makes it interesting. In this study, the transmission from source to the target recipient is realized by means of a relay system. Orthogonal frequency division multiplexing (OFDM)-based channel estimation problem is solved by using the matching pursuit (MP) algorithm and we obtained excellent error performance.

1. GİRİŞ

Sualtı kablosuz iletişimini son yıllarda giderek artan bir ilgi çekmektedir. Yüksek hız ve güvenilirlikte kablosuz bağlantı, açık deniz petrol arama/sondaj, sualtı hayatı ile ilgili veri toplama, denizaltı arkeolojisi, sismik gözlemler, çevre koruma, liman ve sınır güvenliği gibi bir çok sualtı uygulaması için kritik bir öneme sahiptir. Sualtında kablosuz iletişim radyo, optik, yada ses (akustik) dalgaları ile gerçekleştirilebilir. Mevcut yöntemler arasında sualtı propagasyon ortamına en uygun olan ve pratik sistemlerde tercih edilen akustik iletişim olup araştırma faaliyetleri bu konuda yoğunlaşmıştır.

Sualtı akustik kanallarında karşılaşılan temel bozucu etkenlerden biri sökümlenedir. Sualtı kanallarında sökümleme frekans seçici özellik gösteriyor olup, gecikme yayılımı 50-100 ms'ye kadar çıkabilir. Sökümlemeden kaynak simgelerarası girişim (intersymbol interference (ISI)) ile mücadele etmenin en etkin yöntemlerinden birisi dik frekans bölmeli çoğullama (orthogonal frequency

division multiplexing (OFDM)) kullanmaktadır. OFDM günümüzde birçok kablosuz iletişim standartında kullanılıyor olup sualtı akustik sistemlerinde de başarıyla uygulanmıştır [1, 2].

Sönümleme ortamında uzamsal çeşitleme kazancı sağlamak için, yerüstü radyo frekansı kablosuz iletişimini kapsamında önerilen uzay-zaman kodlaması ve çok-girişli çok çıkışlı (multi-input multi-output (MIMO)) iletişim teknikleri de sualtı iletişimine uygulanabilir [3, 4]. Bu teknikler gerek iletim hızında gerekse hata başarımında önemli kazanımlar getirirler. Ancak çoklu alıcı/verici birimi kullanımı kimi sualtı uygulamalarında yer ve güç kısıtlamaları nedeniyle mümkün olmayabilir. Ayrıca yol kaybı sualtı akustik iletişiminde başarımı ciddi şekilde sınırlayan diğer bir etken olup, noktadan noktaya klasik iletişim teknikleri yerine alternatif çözümler gerektir. Bu bilgilerin ışığı altında, rôle destekli işbirlikli çeşitleme (cooperative diversity) [5] hem kapsama alanını genişletmek, hem de sökümleme etkilerini ortadan kaldırılmak için sualtı akustik iletişimine uygun bir çözüm olarak çıkmaktadır.

Literatürde OFDM-tabanlı işbirlikli sualtı akustik iletişim ile ilgili artan sayıda çalışmalar mevcuttur [6, 7]. Bu çalışmaların birçoğundaki temel varsayılmış kanal bilgisinin alıcı tarafta mükemmel olarak bilindiği varsayılmıştır. Pratikte ise eşzamanlı (coherent) sezmeli sistemlerde sökümleme kanal katsayılarının eğitim evresinde çok doğru bir şekilde kestirilmesi ve bunların alıcı tarafta sezme metriğinde kullanılması gereklidir. Sualtı kanalların kestiriminde özellikle dikkat edilmesi gereken bir nokta kanalın uzun gecikme yayılmış seyrek yapısıdır. Bu durum işbirlikli sistemlerde kaskat kanal yapısı nedeniyle kanal kestirimini daha da güçleştirir. Seyreltilmiş kanallarda, enerji belirli bölgelerde yoğunlaşlığı için dörtü yanıtında çok fazla sıfır yer alır. Klasik kanal kestirim yöntemleri bu seyrek yapıyı göz önünde bulundurmadıkları ve gecikme yayılmış tarafından belirlenen tüm kanal boyunca kestirim yapmaya çalışmaları nedeniyle sualtı kanallarında kullanılmaları etkin bir çözüm olamaz. Sualtı uygulamaları için bu kanalların seyrek yapısını göz önünde tutarak enerjinin yoğunlaşığı noktaların tesbitinin yapılması ve kestirilecek katsayı sayısının azaltılması uygun olur.

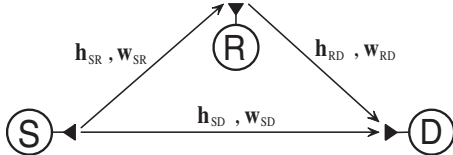
Notasyon : Bu makalede aşağıdaki notasyonlar kullanılacaktır :

- $(\cdot)^T$ matris devriği'ni göstermektedir.
- $(\cdot)^\dagger$ matris eşlenik devriği'ni göstermektedir.
- $tr(\cdot)$ bir kare matrisin ana köşegeni üzerindeki elemanları toplamını (trace) göstermektedir.
- \odot Hadamard çarpımını göstermektedir.
- $\|\cdot\|$ bir vektörün normunu göstermektedir.

Bu çalışma 110E092 nolu TÜBİTAK projesi tarafından desteklenmektedir.

2. SİSTEM MODELİ

Bu çalışmada, Şekil 1'de görüldüğü gibi kaynaktan hedef alıcıya iletimin röle aracılığı ile yapıldığı bir OFDM-tabanlı sistem gözönüne alınmaktadır. Kullanıcı terminaller tek yönlü (half-duplex) çalışmakta olup, bir kullanıcının aynı anda işaret gönderip olması mümkün değildir. Çalışmamızda dikgen işbirlikli protokolu [8, 9] esas alınacaktır. Bu protokolun ilk evresinde (tümegönderim



Şekil 1: Tek röleli işbirlikli iletişim sisteminin şematik gösterimi

evresi) kaynak terminal, işaretleri hem röleye hem hedef alıcıya gönderir. İkinci evrede (aktarım evresi) ise kaynak iletme devam ederken röle de bir önceki zaman aralığında aldığı ve işlediği işaretleri hedef alıcıya gönderir. Çalışmamızda kuvvetlendir-ve-aktar (amplify-and-forward (AF)) röleleme yöntemi kullanılacaktır. AF röleleme yönteminde röle aldığı işareti röle çıkış gücünü belirli bir düzeye tutacak şekilde kuvvetlendirme katsayısı ile çarpar ve sezme işlemini gerçekleştirmeden hedef alıcıya gönderir. Şekil 2'de sulti akustik kanal üzerinden iletişim yapan bir OFDM sisteminin blok şeması verilmiştir. OFDM çok taşıyıcılı bir iletişim sistemi olup yüksek hızlı veri dizisinin paralel olarak alt-taşıyıcılar üzerinden iletimi temeline dayanır. Eğer alt-taşıyıcıların bant genişliğinin kanalın durağan bant genişliğine (channel coherence bandwidth) göre yeterince küçükse, her alt-taşıyıcıının etkilendiği sönümleme, frekans-seçici olmayan (frequency-flat) biçimde gerçekleşir. Bu da kanaldan kaynaklanan bozumlardan alıcı tarafından kolayca düzeltilemesini sağlar. Kanalın çok yolu özelliğinden dolayı ortaya çıkan ISI'yi ortadan kaldırmak ve alt-taşıyıcı frekansların dikkatini koruyarak fiziksel kanaldan iletimini sağlamak için, OFDM sistemlerinde öncelikle bilgi simgelerinin ters Fourier Dönüşümü (inverse fast fourier transform (IFFT))'sı alınarak zaman domeninde işaret örnekleri elde edilir ve bir önek (cyclic prefix (CP)) eklenir. Alıcı tarafda ise CP çıkartılır ve OFDM simgesinin geriye kalan kısmına Fourier Dönüşümü (fast fourier transform (FFT)) uygulanarak tekrar frekans domenine geçer. Verici tarafında, IFFT ve CP'nin kullanılması nedeniyle frekans seçici kanal, düz-sönümlü alt-kanallara dönüştürmüştür. Vericiden alıcıya iletilen, sayısal modülasyonlu (PSK, QAM vb.) bilgi simgeleri, K uzunluğunda bloklara bölünerek N alt-taşıyıcılı Şekil 2'deki OFDM sisteminde IFFT girişine uygulanır. Şekil 2'de iletilen veri vektörü \mathbf{d} ile gösterilsin. $S \rightarrow D$, $S \rightarrow R$ ve $R \rightarrow D$ kanalları da daha önce belirtildiği üzere sonlu yanılıtılış şeklinde olup \mathbf{h}_{SD} , \mathbf{h}_{SR} ve \mathbf{h}_{RD} ile tanımlansın. Kanal kademe (tap) sayıları $\tilde{L}_{SD} + 1$, $\tilde{L}_{SR} + 1$, $\tilde{L}_{RD} + 1$ ile, kanal uzunlukları ise $L_{SD} + 1$, $L_{SR} + 1$, $L_{RD} + 1$ ile verilsin. (Seyrelitik kanal yapısı nedeniyle $\tilde{L}_{SD} >> L_{SD}$, $\tilde{L}_{SR} >> L_{SR}$, $\tilde{L}_{RD} >> L_{RD}$ olarak seçilmelidir). Kaynak terminalde, gönderilen işaret vektörü \mathbf{d} IFFT bloğundan geçirilir. Röle terminalinin aldığı işaret FFT'den geçirdikten sonra aşağıdaki şekilde ifade edilebilir:

$$\mathbf{Y}_R = \text{diag}(\mathbf{H}_{SR})\mathbf{d} + \mathbf{W}_{SR} \quad (1)$$

(1) denkleminde $\mathbf{H}_{SR} = \mathbf{F}\mathbf{h}_{SR}$, $S \rightarrow R$ arasındaki kanalın $N \times 1$ boyutlu frekans cevabı vektörünü ve \mathbf{F} de FFT matrisini göstermektedir. FFT matrisinin m . satır n . sütun elemanı $[\mathbf{F}]_{m,n} = e^{-j2\pi(m-1)(n-1)/N}$, $\forall m, n = 1, 2, \dots, N$ olarak tanımlıdır. Öteyandan $\mathbf{W}_{SR} = \mathbf{F}\mathbf{w}_{SR}$ vektörü $\Sigma_{\mathbf{W}_{SR}} = \mathbf{F} \Sigma_{\mathbf{w}_{SR}} \mathbf{F}^\dagger$ kovaryans matrisine sahip sıfır ortalamalı frekans düzlemi toplamsal kompleks

Gauss gürültü vektörünü göstermektedir.

Röle çıkış gücünü belirli bir seviyede tutacak şekilde kuvvetlendirme katsayısı ile çarpar ve işaretin hedef alıcıya gönderir. Alıcı tarafta röleden (aktarım evresinde) ve kaynaktan (tümegönderim evresinde) alınan işaretler aşağıdaki şekilde ifade edilebilir:

$$\mathbf{Y}_{D,1} = \text{diag}(\mathbf{H}_{SD})\mathbf{d} + \mathbf{W}_{SD} \quad (2)$$

ve

$$\begin{aligned} \mathbf{Y}_{D,2} &= \text{diag}(\mathbf{H}_{RD}) \frac{\mathbf{Y}_R}{\sqrt{E[\|\mathbf{Y}_R\|^2]/N}} + \mathbf{W}_{RD} \\ &= \frac{1}{\sqrt{E[\|\mathbf{Y}_R\|^2]/N}} \text{diag}(\mathbf{H}_{RD}) \text{diag}(\mathbf{H}_{SR}) \mathbf{d} \\ &+ \frac{1}{\sqrt{E[\|\mathbf{Y}_R\|^2]/N}} \text{diag}(\mathbf{H}_{RD}) \mathbf{W}_{SR} + \mathbf{W}_{RD}. \end{aligned} \quad (3)$$

Burada $E[\|\mathbf{Y}_R\|^2] = \text{tr}[\Sigma_d \odot \Sigma_{\mathbf{H}_{SR}} + \Sigma_{\mathbf{W}_{SR}}]$ olarak verilmekte olup Σ_d ve $\Sigma_{\mathbf{H}_{SR}}$ sırasıyla \mathbf{d} ve \mathbf{H}_{SR} vektörlerinin kovaryanslarını göstermektedir. (2) ve (3) denklemelerinde $\mathbf{W}_{SD} = \mathbf{F}\mathbf{w}_{SD}$ ve $\mathbf{W}_{RD} = \mathbf{F}\mathbf{w}_{RD}$ vektörleri $S \rightarrow D$ ve $R \rightarrow D$ arasındaki frekans düzlemi toplamsal kompleks Gauss gürültü vektörlerini göstermektedir.

3. SUALTI KANALLARIN KESTİRİMİ

Bölüm 2'de (2) ve (3) nolu denklemelerde \mathbf{d} data vektörünün, alıcıda sezik işleminin gerçekleştirilmesi için \mathbf{H}_{SD} ve $\mathbf{H} = \mathbf{H}_{RD} \mathbf{H}_{SR}$ kanalların kestirilmesi gerekmektedir. Bu çalışmada sadece kaynak ile alıcı arasındaki OFDM-tabanlı seyrek iletişim kanalı \mathbf{H}_{SD} 'nın kestirimi üzerinde yoğunlaşmaktadır. Kanalın seyrek özelliği ve toplamsal renkli Gauss gürültüsü de gözönüne alınarak, uyumlu eşleme (matching pursuit (MP)) algoritması kullanılarak kanal kestirimi gerçekleştirilmektedir.

Şekil 2'de gösterilen bir OFDM sisteminde, frekans düzleminde tanımlı bilgi taşıyan N uzunluğunda simge dizileri

$$\mathbf{d} = [d(0), d(1), \dots, d(N-1)]^T \quad (4)$$

ile gösterilen bloklara ayrılr. Her bloğun IFFT'si alınır ve buna belli uzunlukta bir önek eklenerek aşağıdaki gibi bir zaman domenini sinyal vektörü elde edilir:

$$\mathbf{s} = [s(0), s(1), \dots, s(N+L-1)]^T. \quad (5)$$

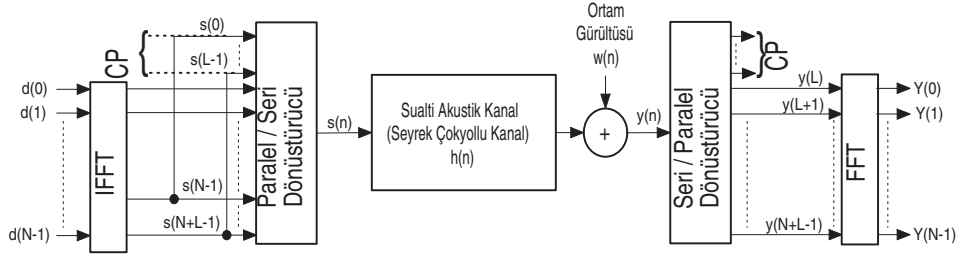
Daha sonra paralel/seri dönüştürücü ile \mathbf{s} vektörü kanal üzerinden seri olarak iletılır. Sulti akustik kanalın seyrek yapıdaki çok yolu ayrık dürtü yanıtı $\mathbf{h}_{SD} = [\mathbf{h}_{SD}(0), \mathbf{h}_{SD}(1), \dots, \mathbf{h}_{SD}(L-1)]^T$ ile gösterilsin. \mathbf{h}_{SD} Rician dağılımlı seyrek kanal olarak ele alınacaktır. n . ayrık zamanda alınan sinyal, $y_D(n)$ alınan sinyal

$$y_D(n) = \sum_{l=0}^{L-1} h_{SD}(l)s(n-l) + w_{SD}(n), \quad n = 0, 1, 2, \dots \quad (6)$$

birimde yazılabilir. Burada $w_{SD}(n)$ ortamın oluşturduğu toplamsal renkli Gauss gürültüsü olup özilişki fonksiyonu aşağıdaki yaklaşıklı ilişkili ile verilir :

$$\rho_w(n-n') = \sigma_w^2 e^{-2\pi|n-n'|f_o T_s}. \quad (7)$$

(7)'de σ_w^2 gürültü varyansı, T_s örnekleme periyodunu göstermektedir ve $f_o T_s$ de model renkli gürültü özilişki model parametresi olarak seçilmektedir. Alıcı tarafta, analog/sayısal dönüştürme işleminden sonra elde edilen sinyal vektöründen önce önek



Şekil 2: Sualtı OFDM sistemi blok diagramı

bölümü çıkarılır. Geriye kalan $N \times 1$ lik vektöre FFT uygulanır. FFT çıkışı aşağıdaki gibi ifade edilebilir:

$$\begin{bmatrix} Y_{D,1}(0) \\ Y_{D,2}(1) \\ \vdots \\ Y_{D,N}(N-1) \end{bmatrix} = \begin{bmatrix} d(0) & 0 & \dots & 0 \\ 0 & d(1) & & \cdot \\ \vdots & \cdot & \ddots & \cdot \\ 0 & \cdot & \cdot & 0 \\ \cdot & \cdot & \cdot & d(N-1) \end{bmatrix} \times \begin{bmatrix} H_{SD}(0) \\ H_{SD}(1) \\ \vdots \\ H_{SD}(N-1) \end{bmatrix} + \begin{bmatrix} W_{SD}(0) \\ W_{SD}(1) \\ \vdots \\ W_{SD}(N-1) \end{bmatrix} \quad (8)$$

(8) ilişkisi matrisel biçimde şu şekilde yazılabilir:

$$\mathbf{Y}_D = \mathbf{D}\mathbf{H}_{SD} + \mathbf{W}_{SD}. \quad (9)$$

Burada \mathbf{D} matrisi ana köşegeni \mathbf{d} data vektöründen oluşan bir köşegen matrisini göstermektedir. \mathbf{H}_{SD} vektörünün elemanları, alttaşışıcı frekanslarında kanalın frekans yanıtının aldığı değerlerdir. Bu nedenle $\mathbf{H}_{SD} = [H_{SD}(0), H_{SD}(1), \dots, H_{SD}(N-1)]^T$ olmak üzere $\mathbf{H}_{SD} = \mathbf{F}\mathbf{h}_{SD}$ şeklinde yazılabilir. Bu denklem (9)'da yerine konulursa alınan sinyal modeli

$$\mathbf{Y}_D = \mathbf{D}\mathbf{F}\mathbf{h}_{SD} + \mathbf{W}_{SD} \quad (10)$$

birimine dönüşür. Gözönüne alınan eşzamanlı iletişim sistemlerinde sönümleme kanal katsayılarının eğitim evresinde çok doğru bir şekilde kestirilmesi ve bunların alıcı tarafta sezme metriğinde kullanılması gereklidir. Pilot destekli kanal kestirimini için (8) denklemdeki gözlem modelinin pilot yerlerine karşılık düşen (10)'a benzer modeli aşağıdaki gibi yazılabilir:

$$\mathbf{Y}_D^{(p)} = \mathbf{D}^{(p)}\mathbf{F}^{(p)}\mathbf{h}_{SD}^{(p)} + \mathbf{W}_{SD}^{(p)}, \quad (11)$$

burada $\mathbf{F}^{(p)}$, \mathbf{F} matrisinin pilot yerlerine karşılık gelen satırlarında üretilen $N_p \times N$ boyuttunda bir alt matrisi ve $N^{(p)}$ 'de pilot sayısını göstermektedir. Diğer taraftan $\mathbf{W}_{SD}^{(p)} = \mathbf{F}^{(p)}\mathbf{w}_{SD}$ olarak tanımlı olup \mathbf{W}_{SD} vektörünün pilot yerlerine karşılık gelen elemanlarından oluşan, $\Sigma_{\mathbf{W}_{SD}}^{(p)} = \mathbf{F}^{(p)}\Sigma_{\mathbf{w}_{SD}}\mathbf{F}^{(p)\dagger}$ kovaryans matrisine sahip sıfır ortalamalı kompleks toplamsal Gauss vektöridir. $\mathbf{D}^{(p)}$ matrisi ana köşegeni pilot sembollerden oluşan bir köşegen matrisidir. Ortamenin toplamsal gürültüsünün frekans domeni ifadesi $\mathbf{W}_{SD}^{(p)}$ renkli gürültü olduğundan gürültü beyazlaştırma işlemi yapılmalıdır. Bunun için $\Sigma_{\mathbf{W}_{SD}}^{(p)}$ 'nin SVD açılımının

$$\Sigma_{\mathbf{W}_{SD}}^{(p)} = \mathbf{F}^{(p)}\Sigma_{\mathbf{w}_{SD}}\mathbf{F}^{(p)\dagger} = \mathbf{U}\Lambda\mathbf{U}^\dagger \quad (12)$$

olduğu düşünülürse

$$\mathbf{W}_{SD}^{(p)} = \mathbf{U}\Lambda^{1/2}\widetilde{\mathbf{W}}_{SD} \quad (13)$$

olacaktır ve $\widetilde{\mathbf{W}} \sim \mathcal{CN}(\mathbf{0}, \mathbf{I}_{N^{(p)}})$ beyaz gürültüsüne sahip olmak üzere aşağıdaki gibi bir alternatif gözlem modeli elde edilir:

$$\widetilde{\mathbf{Y}}_D = \mathbf{A}\mathbf{h}_{SD} + \widetilde{\mathbf{W}}_{SD}. \quad (14)$$

Burada $\widetilde{\mathbf{Y}}_D = \Lambda^{-1/2}\mathbf{U}^\dagger\mathbf{Y}_{D,1}^{(p)}$ ve $\mathbf{A} = \Lambda^{-1/2}\mathbf{U}^\dagger\mathbf{D}^{(p)}\mathbf{F}^{(p)}$ dir. Sualtı kanalların kestiriminde özellikle kanalın uzun gecikme yayılmış seyrek yapısı gözöne alınmalıdır. Çalışmanın bu kısmında kanalın seyreklik özelliğini kullanan MP [10] algoritmasının sualtı akustik kanallarının kestirimine nasıl uygulanabileceği araştırılmıştır.

Gözlem modeli ile MP algoritmasını açıklamak için (14)'deki gözlem vektörünü ele alalım. MP algoritmasının temeli, $\mathbf{r}_0 = \widetilde{\mathbf{Y}}_{D,1}$ sinyal vektörü ile $\mathbf{A} = [\mathbf{a}_1, \mathbf{a}_2, \dots, \mathbf{a}_N]$ matrisinin sütunlarından \mathbf{a}_{k_1} ile gösterilen en 'uyumlu' olan satırı bulmaya dayanmaktadır. Bu yaklaşımada, \mathbf{r}_0 vektörünün bu sütun vektörü yönüne doğru izdüşüm bulunarak elde edilen izdüşüm vektörü \mathbf{r}_0 'dan çıkarılır. Bu çıkardımdan elde edilen artık vektör \mathbf{r}_1 ile gösterilsin. Daha sonra \mathbf{A} matrisinin sütunları içinde \mathbf{r}_1 ile uyumu en iyi \mathbf{a}_2 vektörü ve bir önceki adıma benzer şekilde yeni bir artık \mathbf{r}_2 vektörü oluşturulur. Bu iterasyon adımlarına belli bir sonlandırma kriteri sağlanıncaya kadar ve \mathbf{A} matrisinin sütunlarındaki en iyi eşleme sıralı olarak gerçekleştiriline kadar devam edilir.

Matematiksel olarak algoritmanın i . iterasyon adımı aşağıdaki gibi açıklanabilir. Öncelikle bir \mathbf{a}_j vektörü üzerindeki izdüşüm matrisi şöyle tanımlansın :

$$\mathbf{P}_{a_j} = \frac{\mathbf{a}_j\mathbf{a}_j^\dagger}{\|\mathbf{a}_j\|^2} \quad (15)$$

Bu durumda \mathbf{A} matrisinin sütun vektörleri arasında, \mathbf{r}_{i-1} artık vektörü ile en uyumlu olanı seçilir. Burada uyumluluk ölçüsü

$$k_i = \arg \max_j \frac{|\mathbf{a}_j^\dagger \mathbf{r}_{i-1}|^2}{\|\mathbf{a}_j\|^2}, \quad j = 1, 2, \dots, N$$

ve $j \notin \{k_1, k_2, \dots, k_{i-1}\}$ (16)

birimde tanımlanır. Bu durumda i . sırada baskın çok yolu kanal katsayısı

$$\widehat{h}_i = \frac{\mathbf{a}_{k_i}^\dagger \mathbf{r}_{i-1}}{\|\mathbf{a}_{k_i}\|^2} \quad (17)$$

olarak kestirilir. Yeni artık vektör ise

$$\mathbf{r}_i = \mathbf{r}_{i-1} - \widehat{h}_i \mathbf{a}_{k_i}, \quad (18)$$

ilişkisinden hesaplanır. İterasyona istenen sayıda kanal katsayısı kestirimine kadar ya da seçilmiş artık vektörlerin genlikleri yeteri kadar küçük oluncaya kadar devam edilir. Kanal kestiriminin ardından doğrusal en küçük karesel hata kanal denkleştiricisi kullanarak veri simgeleri en büyük olabilirlik karar kriterine göre belirlenir.

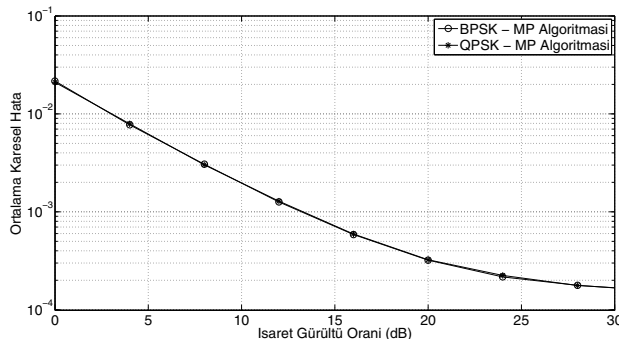
4. BİLGİSAYAR BENZETİMİ

Bu bölümde, incelenen kanal kestirim algoritması ile sistemin başarısını değerlendiren bilgisayar benzetim sonuçları sunulmaktadır. Bilgisayar benzetimleri, Tablo 1'de yer alan sistem parametreleri dikkate alınarak gerçekleştirilmiştir. Şekil 3'de MP algoritması kullanılarak ikili faz kaydirmalı anahtarlama (binary phase-shift keying (BPSK)) ve dik faz kaydirmalı anahtarlama (quadrature phase-shift keying (QPSK)) sinyallerini kullanan sistemde yapılan kanal kestirimi için ortalama kestirim hatasının sinyal-gürültü oranına göre değişimi verilmiştir. Buradan, MP algoritmasına dayanan kanal kestiriminin, durağımı (quasi-static) kanallarda son derece iyi başarı gösterdiği görülmektedir. Şekil 3'de elde edilen ortalama karesel hata başarılarında BPSK ve QPSK için yaklaşık eşit çıktıği sonucuna ulaşılmıştır. Bunun temel nedeni, bilgisayar benzetimlerinde kullanılan BPSK ve QPSK sinyallerinin sabit modüllü olmalarıdır.

Şekil 4 ise, simge hata olasılığının (symbol error rate (SER)) sinyal-gürültü oranına göre değişimini gösteren başarı eğrileri verilmiştir. Bu eğriler, kanalın alıcıda tam olarak bilişmedi durumda hesaplanan SER başarımları ile, kanalın alıcıda bilinmemesi durumda MP algoritması kullanılarak elde edilen SER başarımlarını göstermektedir. Şekil 4'den de görüleceği gibi, SER başarımlarının hem BPSK ve hem de QPSK sinyalleri kullanılması durumunda yaklaşık eşit çıktıği sonucuna varılmıştır. Şu anda çalışmalarımız bu sonuçların işbirlikli sistem ve zamanla değişen kanallara uygunlanması yönünde devam etmektedir.

Tablo 1: Bilgisayar benzetimlerinde kullanılan sistem parametreleri

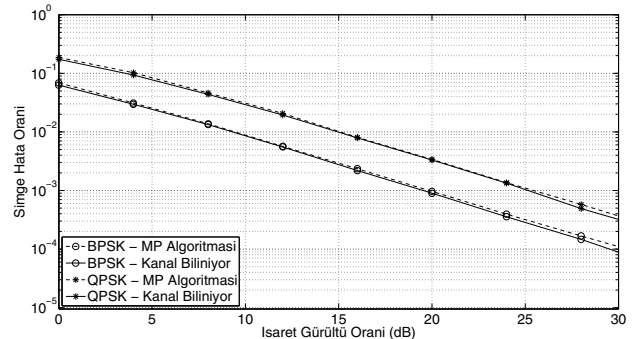
Altkanal Sayısı (N)	256
Aktif altkanal sayısı (K)	232
Band Genişliği (BW)	3 KHz
Örnekleme frekansı (f_s)	BW
Kanal yol gecikme vektörü (τ)	$[0 \quad 21 \quad 34 \quad 52] \times T_s$
Kanal yol güçleri (Ω)	$[0.25 \quad 0.5 \quad 0.15 \quad 0.1]$
Rician Kanal Çarpanı (K)	2 dB
$f_o T_s$	0.05
Pilot aralığı (Δ)	4



Şekil 3: MP kanal kestirimi için ortalama karesel hata

5. SONUÇLAR

Bu çalışmada işbirlikli çesitlemenin sualtı akustik iletişimine uygulanması durumunda ortaya çıkan kanal kestirim problemi incelenmektedir. Daha açıkçası kaynaktan hedef alıcıya iletimin rôle arayıcılığı ile yapıldığı bir OFDM-tabanlı sistemde sualtı kanal kestirim problemi gözönüne alınmaktadır. Sualtı kanallarının seyrek bir modele sahip olması ve sisteme giren toplam sal gürültünün renkli Gauss gürültüsü olması sualtı kanalları kestirim problemini zorlaştırmaktadır. Kanalın seyrek olması nedeniyle kestirim için MP algoritması uygulanmaktadır ve renkli Gauss gürültüsünü beyazlaştmak gerekmektedir. MP algoritması kul-



Şekil 4: Kanal kestirimi altında simge hata başarımı ve kanal mükemmel bilinmiyor varsayımları altındaki başarı ile karşılaştırılması

lanılarak ortalama hata ve simge hata olasılığı başarımları elde edilmiştir. Bilgisayar benzetim sonuçları MP algoritmasının kanal kestiriminde çok iyi bir başarı gösterdiğini ortaya koymuştur.

6. KAYNAKÇA

- [1] W. K. Lam and R. F. Ormondroyd, "A coherent COFDM modulation system for a time-varying frequency-selective underwater acoustic channel," *Seventh International Conference on Electronic Engineering in Oceanography*, pp. 198–203, June 1997.
- [2] Y. V. Zakharov and V. P. Kodanov, "Multipath-doppler diversity of OFDM signals in an underwater acoustic channel," *IEEE International Conference on Acoustics, Speech and Signal Processing*, pp. 2941–2944, June 2000.
- [3] H. C. Song, P. Roux, W. S. Hodgkiss, W. A. Kuperman, T. Akal, and M. Stevenson, "Multiple-input multiple-output coherent time reversal communications in a shallow-water acoustic channel," *IEEE Journal of Oceanic Engineering*, vol. 31, no. 1, pp. 170–178, January 2006.
- [4] S. Roy, T. M. Duman, V. K. McDonald, and J. G. Proakis, "High-rate communication for underwater acoustic channels using multiple transmitters and space-time coding: Receiver structures and experimental results," *IEEE Journal of Oceanic Engineering*, vol. 32, no. 3, pp. 663–688, July 2007.
- [5] M. Uysal (Ed.), "Cooperative communications for improved wireless network transmission: Frameworks for virtual antenna array applications," *IGI Global*, July 2009.
- [6] M. Stojanovic, "Capacity of a relay acoustic link," *IEEE Oceans '07*, October 2007.
- [7] M. Vajapeyam, S. Vedantam, U. Mitra, J. C. Preisig, and M. Stojanovic, "Distributed space-time cooperative schemes for underwater acoustic communications," *IEEE Journal of Oceanic Engineering*, vol. 33, no. 9, pp. 489–501, October 2008.
- [8] J. N. Laneman, D. N. C. Tse, and G. W. Wornell, "Cooperative diversity in wireless networks: Efficient protocols and outage behavior," *IEEE Trans. Inf. Theory*, vol. 50, no. 12, pp. 3062–3080, December 2004.
- [9] V. Tarokh, P. Mitran, and H. Ochiai, "Variable rate two phase collaborative communication protocols for wireless networks," *IEEE Transactions on Information Theory*, vol. 52, no. 9, pp. 4299–4313, September 2006.
- [10] S. F. Cotter and B. D. Rao, "Sparse channel estimation via matching pursuit with application to equalization," *IEEE Trans. Commun.*, vol. 50, no. 3, pp. 374–377, March 2002.